

(内部发行 注意保存)

“国外电子器件”译叢之二

第三屆国际超高頻管會議報告选輯

(1960 年在德国慕尼黑召开)

“国外电子器件”編輯組編

1963年6月

前　　言

在編寫 1962 年国外电子器件水平时，考慮到几年来对各种类型的器
件作了較全面的阐述，一年来的进展不大，这些題目再写难免有重复。
为确保质量并征詢有关方面的意見后，决定选譯 1960 年在德国慕尼黑召
开的第三屆国际超高頻管會議上宣讀的十一篇报告。其中有六篇是綜合
性地討論及分析有关超高頻管及其工艺上的問題，有五篇是涉及一些专
題性的工艺。前六篇基本上能反映各該管及譯文題在現阶段的进展及現
存的問題。为便于了解文中所談的某个問題的細节，凡原文附有参考文
献的，均抄印在譯文后。

編者

目　　录

微波管的静电聚焦.....	1
高功率速調管.....	15
大功率行波管的新发展.....	22
O 型返波管的新近发展.....	28
从管子可靠性的觀点来考虑超高頻管的工艺問題.....	35
新型极高頻金属陶瓷管.....	52
电子管的慢波綫.....	54
行波管的慢波綫——制造和检驗.....	59
高功率通过微波窗的研究.....	63
速調管蜂窩状柵极制造的一些工艺問題.....	70
适用于微波窗的通用金属-介质封接.....	72

微波管的静电聚焦

J. R. Hechtel

I. 前 言

大多数微波管运用細長的电子注。因为这种电子注的导流系数較高（約為 10^{-6} 安/伏 $^{3/2}$ ），空間电荷效应占有重要的作用。这意味着，一束沒有外聚焦場作用的电子注将迅速增大它的起始寬度。

抑制电子注过度扩散的最古老和最常用的方法，是运用平行于理想的电子运动方向的均匀磁场。这种磁场可以用电磁鐵（螺旋管）或永久磁鐵产生。这二种方法都有它們的缺点。电磁鐵消耗能量，并且要求用体积和重量超过管子本身體积和重量的功率源。永久磁鐵除了体积和重量大以外，还有外杂散場。对于某些材料而言，磁场尚取决于溫度。

在某些行波管和返波振盪器中，均匀磁场已为周期性空間磁场代替。在这种情况下，可以减去相当的重量和空間。但是，溫度补偿問題仍然存在。

上述的缺点在地面系統中不是太严重，但如果微波管用在航空或卫星系統中，則显得很重要。

微波管的静电聚焦能避免所有这些缺点，很吸引人。静电聚焦的想法和速調管原理一样，出現很早。Hahn 和 Metcalf(1) 在第一篇論速調管的文章里已提出静电透鏡的問題。自此以后，已有許多不同的聚焦設計提出，它們的某些設計已有实际試驗。但是，微波管要求的高导流系数使較長的电子注的静电聚焦极其困难，只在最近几年，在这方面取得了某些进展。

微波管中聚焦电子注的問題与其他电子學器件（如电子显微鏡或阴极射綫管）中遇到的电子光学問題很不同。它的目的不是形成一

个物象，而是在一定长度的电子注上保持接近恒定的电子注直径，并尽可能保持恒定的层状电子流。这意味着：向外的空間电荷力必須由反向的聚焦力每时每刻地，或平均地补偿。在理論处理中，电子光学中常被忽略的空間电荷力起着重要的作用。

微波管中另一点要考慮的是电子注直径与周围电极內径的比例。在大多数电子器件中，这种比例保持得低，以使球面象差降为最小。但在微波管中情况完全不同。由于周围的电极主要是产生高頻場的作用，电子注必須尽可能靠近这些电极通过，以便电子注与电場之間获得良好的耦合。如果这些电极又是静电聚焦系統的一部份，則此系統將有强烈的球面象差。包括这种效应在内，使得这問題的理論处理十分困难。例如，常用的傍軸射綫理論就不能足够精确地描述电子注边界上的电子轨迹。

微波管聚焦系統的一个重要特点是对电子注起始条件的稳定性。即对电子注的起始斜率、直径和电流的正确值的某种偏移不应导致电子注直径不可容忍的改变。

在討論提出的或試驗过的各种系統以前，将考慮能起聚焦作用的几种基本的电子光学系統。它們是“单透鏡”和在同軸圓柱体間以及平行平面間的电場。所有其他比較复杂的系統都可归結成这些基本的系統。

单透鏡：

最簡單的单透鏡由三个沿共同軸綫排列的光闌組成（图 1）。二个外电极具有相同的电位。中間电极的电位可以較高或較低。在軸对称情况下，光闌中央的孔是圓形的。如果每个光闌都用被对称平面分隔的二个半无限平面代替，那麽相同的布置可用来聚焦带状或片状电子注。

如众所知，/在內电极的电压高于或低于外

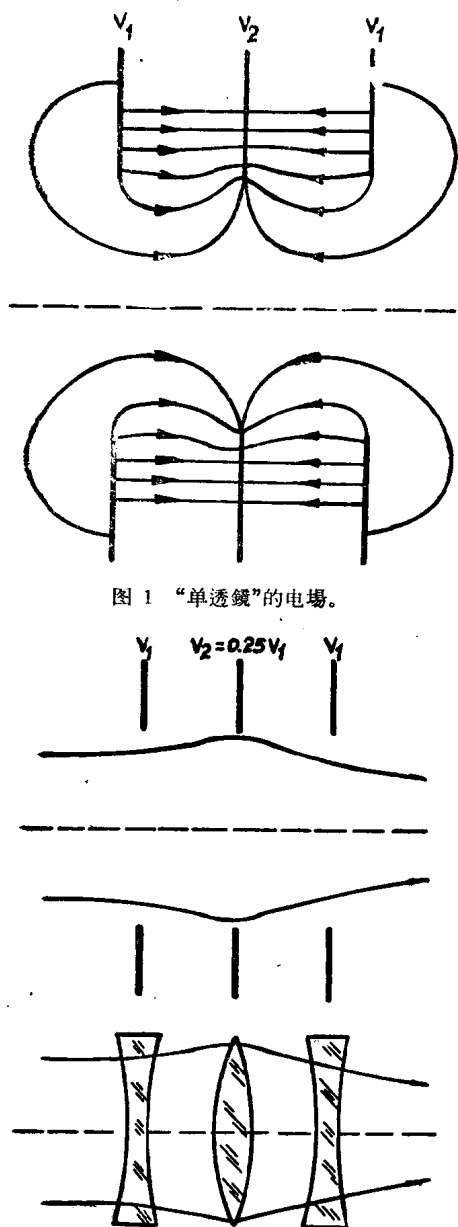


图 1 “单透鏡”的电场。

$$V_2 = 0.25 V_1$$

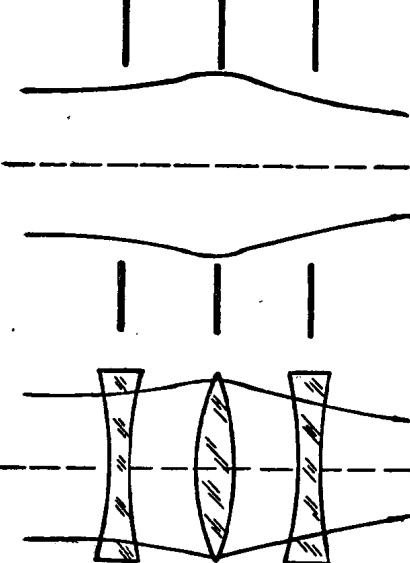


图 2 忽略空间电荷效应的“单透鏡”中的电子轨迹，以及“单透鏡”的光学模拟。

电极的电压情况下，单透鏡总是收敛的。图 2 表示在内电极的电压低于外电极的电压情况下平行于轴綫进入透鏡的电子的轨迹。

現在考慮存在空间电荷情况下的相同的透鏡(图 3)。在一定的空间电荷密度下，向外的平均空间电荷力将等于透鏡的平均聚焦力。这意味着，平行于轴綫进入透鏡的电子注也将平行于轴綫离开透鏡。这就是微波管中电子注聚

焦的情况。

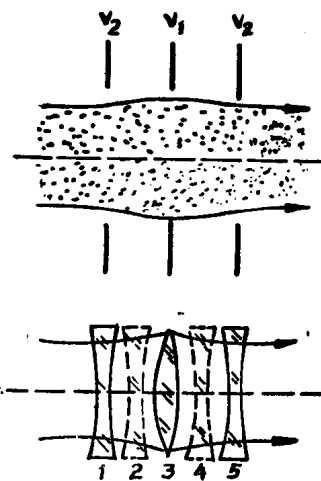


图 3 包括空间电荷效应的“单透鏡”中的电子轨迹，以及光学模拟。透鏡 2 和 4 表示空间电荷。

同軸圓筒之間的偏轉聚焦：

从电子光学的早期起，就已经知道同軸圓筒之間电場的聚焦性质。图 4 示出沒有空间电荷的这种系統中的电子轨迹。从共同的点或綫源发出的电子流聚焦在与中心的距离相同，并具有 127° 角位移的点或綫上。現在考慮有空间电荷情况下相同的系統(图 5)。如果某区域內的全部电子在圆形轨道上运动，对于每个电子而言，电力和离心力之和必須等于零。这个条件引出以下表示这种电子流导流系数的公式：

$$P = I / V_0^{3/2} = 42 \times 10^{-6} w \Delta r / r_0^2 \text{ 安/伏}^{3/2} \quad (1)$$

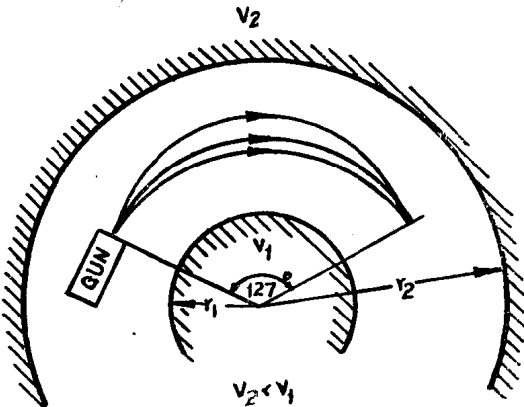


图 4 忽略空间电荷效应的同軸圆筒之间的电子轨迹。

式中 w 是軸向电子注的宽度。令人惊奇的是，

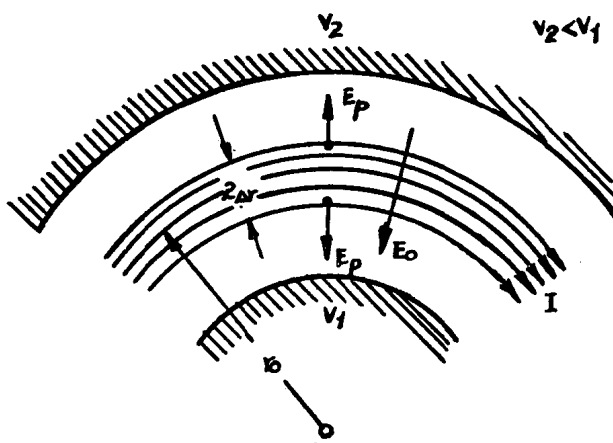


图 5 包括空间电荷效应的同轴圆之间的电子轨迹。

求导流系数的表示式不包括产生聚焦场的二个圆柱的电压和半径，而仅仅包括电子流的曲率半径和它的厚度。当然，电子呈半径为 r_0 的圆周运动这一事实暗含着产生这种运动的电场的某些条件。

举例：

$$\Delta r = 0.1 \text{ 厘米}$$

$$r_0 = 1 \text{ 厘米}$$

$$w = 1 \text{ 厘米}$$

我们获得导流系数为：

$$P = 4.2 \times 10^{-6} \text{ 安/伏}^{\frac{3}{2}}$$

这种比较高的导流系数说明了微波管中运用这种聚焦方法的有效性。

电子的圆形运动可以与沿轴的纵向运动相结合。例如在 Harris 的聚焦系统、Watkin 的旋注管，以及苏联的旋束管中都是这样。径向的聚焦性质当然不受轴向的增加运动所改变。

平行板之间的偏转聚焦：

图 6 示出平行板之间的电场的聚焦性质。靠近低压电极的 A 点进入到偏转场的电子具有比 B 或 C 点低的速度。因此，曲率半径对于各种轨迹是不同的。这就导致了阴极射线管偏转系统设计者十分熟悉的聚焦作用。

在空间电荷影响下，这种系统的性质又显得更为重要。由于偏转场的聚焦性质趋向于减少电子注的厚度，而空间电荷效应趋向于增加

它，我们可以假设：对于某种空间电荷密度，这两种效应相互抵消(图 7)。满足这种条件的导流系数是：

$$P = 21 \times 10^{-6} wt / R^2 \text{ 安/伏}^{\frac{3}{2}} \quad (2)$$

式中 w 是垂直于 x 和 y 的电子注的宽度。 R 是电子轨迹的曲率半径。我们再次获得了一个较为令人惊奇的结果。能够在平行电极之间的偏转场中聚焦的片形电子注的导流系数仅取决于电子注的厚度，以及电子在这电场中所描绘的轨迹的曲率半径。

将此方程式与同轴圆柱方程式比较，我们看出这两个方程式是一致的。这意味着，同轴圆柱之间的电场和平行电极之间的电场在空间电荷条件下聚焦片形电子注的能力是等效的。

任何引起电子按曲线轨迹运动的电场都具有聚焦性质，并且能用在空间电荷条件下限制带形电子注，这个概念显然首先是由 W. E. Water(2) 想出的。

II. 均匀场

2.1. 纯空间电荷场(空间电荷聚焦)：

目前所用的各种聚焦方法中最简单的一种就是除了电子注的空间电荷场以外不再运用其他电场的方法。有时这种方法称为“空间电荷聚焦”。由于不存在真正的聚焦作用，这个定名有些令人误解。

如果电子注用某种起始收敛进入管中；则通过给定横截面和长度的空管的电子注所传输的电流为最大。考虑一个直径 d 和长度 l 的圆形管，如图 8 所示。边缘电子的起始斜率必须是：

$$\tan \gamma = -\frac{d}{l}$$

这意味着电子的起始方向与宽为 d 、长为 l 的矩形的对角线一致。电子以它们进入的角度离开管子。最小电子注直径由下式给出：

$$d_{\min} = 0.43 d$$

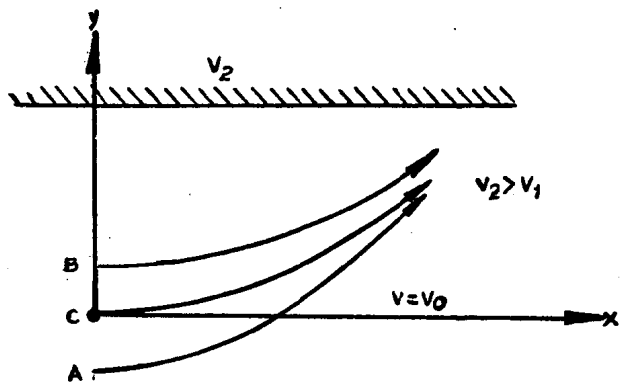


图 6 没有空间电荷的平行平面之间的电子轨迹。

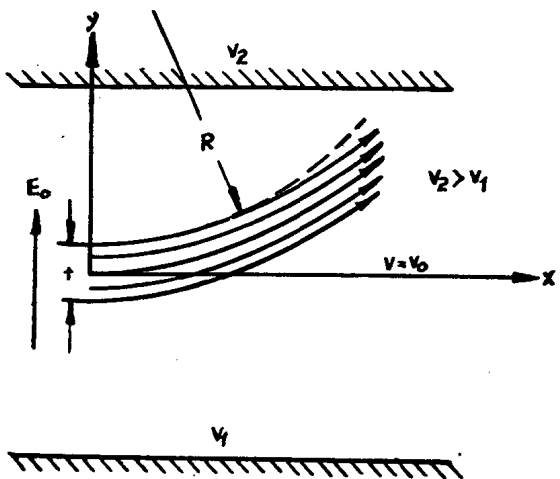


图 7 包括空间电荷效应的平行平面之间的电子轨迹。

这种电子注的导流系数是：

$$P = 39 \times 10^{-6} (d/l)^2 \text{ 安/伏}^{\frac{3}{2}} \quad (3)$$

如果与 l 比较 d 不是太小，则可达到较高的导流系数。在无栅速调管中，如果 d 变得太大，漂移管直径 d 受电子注耦合系数的限制，因为电子注耦合系数在轴附近迅速衰减。用归一化的单位量度， kd 的上限大概是 2。速调管中的长度 l 由二个相邻空隙之间的距离给出。在振荡器中，最常用接近 $3.3\pi = 10.4$ 的 $k \cdot l$ 归一化值。这个值也可以看作双腔放大器中的典型数值。用这些值我们获得导流系数的近似值， $P \approx 1.5 \times 10^{-6}$ 安/伏 $^{\frac{3}{2}}$ 。这个数值并没有考虑到高频场

的透镜效应，这种效应使导流系数的最大可用值略有减少。

$$P = 39 \times 10^{-6} \left(\frac{d}{l} \right)^2 \left(\frac{\text{amps}}{\text{volts}^{\frac{3}{2}}} \right) \quad (4)$$

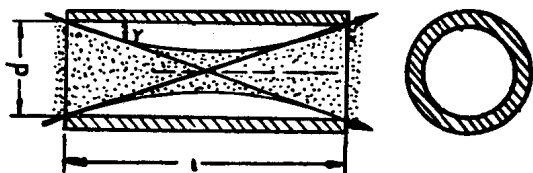


图 8 圆柱形电子注在最佳条件下的空间电荷聚焦。

如果用片形电子注，情况就略有不同。为了通过矩形横截面的漂移管传输最大可能的电流，我们又有这种条件：即电子注在进入管子时是收敛的。但是，如果电子的热速度忽略不计，至少理论上最小的电子注厚度为零，（比较图 9）。

如果电子注的起始厚度是 b ，它的宽度是 a 以及漂移管的长度是 l ，那么电子注的最大可用导流系数近似为：

$$I/V_0^{\frac{3}{2}} = \frac{ab}{l^2} \times 84 \times 10^{-6} \text{ 安/伏}^{\frac{3}{2}} \quad (4)$$

起始斜率用下式给出：

$$\tan \gamma = -\frac{2b}{l}$$

为了计算最大可能的导流系数，与圆形电子注的情况相似，假设电子注的归一化起始厚度 ab = 2，归一化长度 kl = 10。为了在电子注的横向保持接近恒定的高频电场， a 不允许超过自由空间波长 λ_0 的一定分数，例如 $\lambda_0/5$ 。根据这种假设，并且电压是 10 千伏，我们得到导流系数 $P = 10.6 \times 10^{-6}$ 安/伏 $^{\frac{3}{2}}$ 。它比用圆形电子注所能获得的最大可能的导流系数要高得多。

空间电荷聚焦方法已在具有圆形截面电子注的速调管放大器和振荡器中利用。在 3000 兆赫频率时，已获得 1 千瓦左右的连续波功率。在 10,000 兆赫时，连续波功率为几百瓦。频率高达 11,000 兆赫，功率电平接近 20 瓦（连续波）的放大器已在研制。

有时候为在较高的脉冲功率电平工作，管

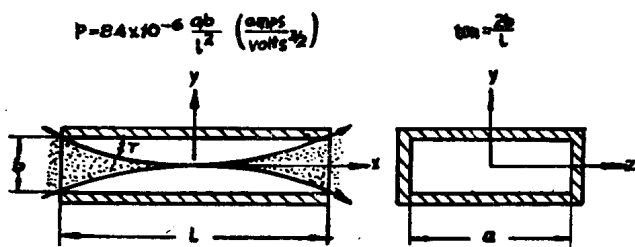


图 9 带形电子注的空间电荷聚焦。

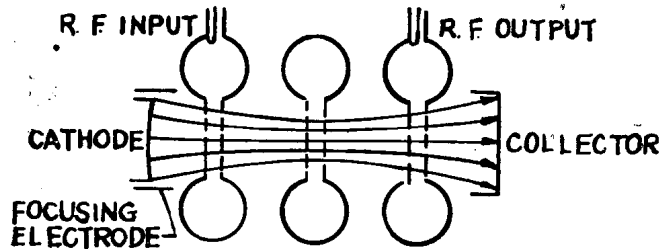


图 10 用空间电荷聚焦的速调管放大器的简图。

RF input 高频输入端, RF output 高频输出端, Cathode 阴极, Collector 收集极 Focusing Electrode 聚焦极

中使用栅极。这些栅极允许用比较大的电子注直径，而不损害电子注耦合系数。在用比较大的电子注直径时，电子注也可以更长一些。用这种方法有可能构成一个 3 腔放大器 (3)。图 10 示出 Sperry Rand 公司研制的这类管子的简图。它的峰值功率输出是 37 千瓦，增益是 30 分贝，频率 960—1215 兆赫。频率范围从 2700—2900 兆赫的相似的管子的峰值功率输出为 15 瓦。

这种原理的主要缺点在于电子注电流的一部份被栅极截获。这不仅降低了管子效率，而且引起栅极温度升高（它使这种管子的平均功率限制在较低值）。

2.2. 同轴圆筒聚焦

同轴圆筒之间电场的聚焦筒质已应用在各种低功率和中功率振荡器和放大器中。已经采用这种方法的有二方面：

(1) 电子在垂直于聚焦圆筒的轴线的平面中运动。轨迹接近圆形。Versnel 和 Jonker (4), (5) 研制的无磁铁“磁控管”代表这种电子运动。

(2) 电子在螺旋轨道上运动。这意味着：

轴线上有一个恒定的速度分量叠加在(1)中所述的运动上。这种例子如：所谓的“Harris 流”(6), Techernov 的“旋束管”(7)、(8)，以及 Watkins 和 Wada 的“旋注管”(9)。

图 11 示出无磁铁“磁控管”的简图。内聚焦圆筒被隙缝分成 8 个相等的条带。这些带与短路传输线(图中没有示出)共同组成谐振电路。电子枪产生带形电子注。适当调节电压和在没有高频场时，电子呈圆形运行。如果电子在两个邻近隙缝之间的渡越时间接近等于谐振线路的半周期，则振荡是可能的。在高频场中已经获得或损失能量的电子接近外圆筒或内圆筒，如图 11 所示。

这种管子的电气数据如下：

频率	$f = 230 - 420$ 兆赫
电子注电压	$V_0 = 100 - 260$ 伏
电子注电流	$I = 1.4 - 5.9$ 毫安
导流系数	$I/V_0^{3/2} = 1.4$ 微安/伏 $^{3/2}$
电子注传输系数	= 50—60%
高頻功率	= 几十毫瓦

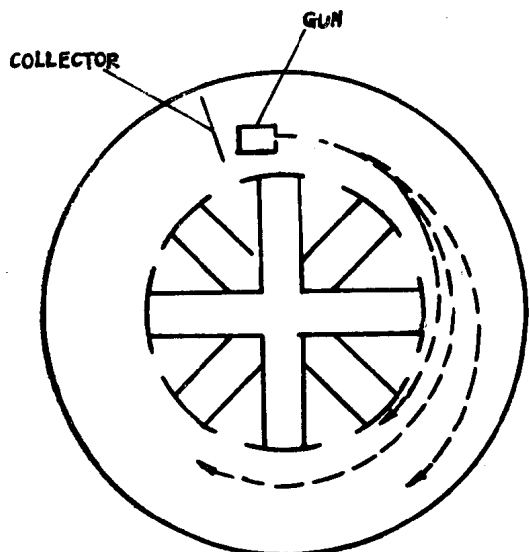


图 11 Versnel 和 Jonker 的无磁铁磁控管。

Collector 收集极 GUN 电子枪

用 Versnel 和 Jonker 给出的尺寸，此系统的导流系数十分接近根据方程式(2)算得的

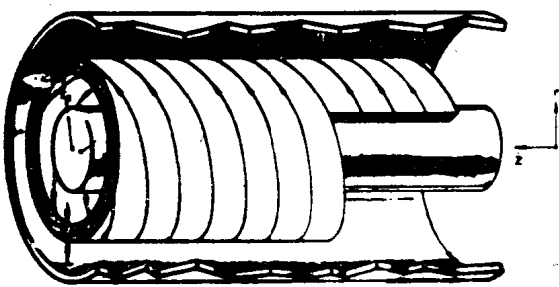


图 12 旋注管、旋束管和 Harris 流中所用的同轴圆筒之间的螺旋形电子流。

理論值。这种管子仅仅有理論的意义，因为它受限制在一小功率电平，并且不能进行电子調諧。

考慮第二种情况，即电子在螺旋形轨道上运动，如图12所示。除了方位角速度 v_θ 以外，現在还有纵向速度分量 v_z 。再假設 Δr 与 r_0 比較是小的，能够在这系統中聚焦的最大电流由下式給出：

$$I = 265 \times 10^{-6} \frac{\Delta r}{r_0} V_\theta \times \sqrt{V_z} \quad (5)$$

引入螺旋形电子轨道的螺距角 α ， V_z 和 V 可以用 V_θ 表示，反之也成立。現在可将最大导流系数写成以下几种形式：

$$I/V_\theta^{3/2} = 265 \times 10^{-6} \Delta r/r_0 \tan \alpha \quad (6)$$

$$I/V_z^{3/2} = 265 \times 10^{-6} \Delta r/r_0 \cot^2 \alpha \quad (7)$$

$$I/V^{3/2} = 265 \times 10^{-6} \Delta r/r_0 \sin \alpha \cos^2 \alpha \quad (8)$$

函数 $\sin \alpha \cos^2 \alpha$ 在 $\alpha = 35.3^\circ$ 时具有最大值。在这种值时，导流系数是：

$$I/V^{3/2} = 102 \times 10^{-6} \Delta r/r_0 \text{ 安/伏}^{3/2} \quad (9)$$

为了获得电子注与高頻結構之間的最大相互作用，高頻電場的方向应与电子运动的方向相同。滿足这种条件是不容易的。目前，大多数高頻結構产生的電場不外乎两种方向： θ 方向和 z 方向。在这二种情况下，只有部份的总电子能量能轉換成高頻功率 *。如果電場为 θ 方向，有用的能量与总能量之比由下式給出：

$$V_\theta/V = \cos^2 \alpha,$$

若電場是 z 方向，其比值为

$$V_z/V = \sin^2 \alpha.$$

我們容易了解：在高頻場为 θ 方向时 α 角

應該小。但是，根据方程式 (6)， α 应該大才能获得大的电流。因此必須有个折衷的措施。

如果高頻場是 z 方向，则存在相似的情况。为了与电子注有良好的相互作用， α 应該大(接近 $\frac{\pi}{2}$)。为了获得大电流，根据方程式 (7)， α 应該小。

在一定效率时能获得的最大导流系数示于下表：

表 I. 在 $\Delta r/r_0=0.1$ 时图 12 的聚焦系統
的效率和最大导流系数

效 率	θ 方向的高頻場		Z 方向的高頻場	
	α°	$\frac{l}{V_\theta^{3/2}} \left[\frac{\mu \text{ 安}}{\text{伏}^{3/2}} \right]$	α°	$\frac{l}{V_z^{3/2}} \left[\frac{\mu \text{ 安}}{\text{伏}^{3/2}} \right]$
90%	18.5	8.8	71.5	3.0
75%	30	15.3	60	8.8
50%	45	26.5	45	26.5

可以看到，在效率高于50%时， θ 場給出較高的导流系数。因为 $\Delta r/r_0=0.1$ 不代表上限，当效率是 90% 时， $10-20 \times 10^{-6}$ 安/伏 $^{3/2}$ 导流系数是完全可行的。不幸，目前所有的高功率电平的高頻結構都是 Z 方向的电場。

如果高頻場的方向能够与电子的方向取得一致，电子注的全部能量便可轉換成高頻能量。如前所述，当螺距角是 35.3° 时可获得最大导流系数。

这种聚焦方法的主要問題可能是电子注的正确注入。

存在几种实现电子注正确注入的方法。在旋束管和旋注管中，利用純靜電場把必需的速度分量 v_θ 和 v_z 給予电子。在 Harris 流系統中，使 z 方向的电場与径向的磁場結合应用。

旋注管 [9]：

图13示出旋注管，即频率范围1.2—2.4千兆赫的返波振盪器的图象。与无磁鐵“磁控管”相似，它的內聚焦圓筒用高頻結構代替。但

* 通过在减速場降低电子速度以恢复无用部份的电子能量是可能的，但是难以实现，特別是在旋转能量的情况下。

是，旋注管在二个重要特点与 Versnel 管不同。第一，电子具有与轴平行的速度分量，因此，与高頻结构有重复的相互作用。第二，組成高頻结构的条带用欧姆电阻終接。因此，电路是非諧振的，并且管子能在寬的頻率范围内进行电子調諧。管子的特性可以用以下数据說明：

线路-阴极电压	$V_c = 500 - 1700$ 伏
外圆筒(底极)-阴极电压	$V_s = 135$ 伏
集电极电流	$I = 0.45 - 1$ 毫安
电子注传输系数	16—43%
导流系数	$I_{cath}/V_{beam}^{3/2} \approx 0.1 - 0.5 \times 10^{-6}$ 安/伏 ^{3/2}
高頻功率	1—10 毫瓦

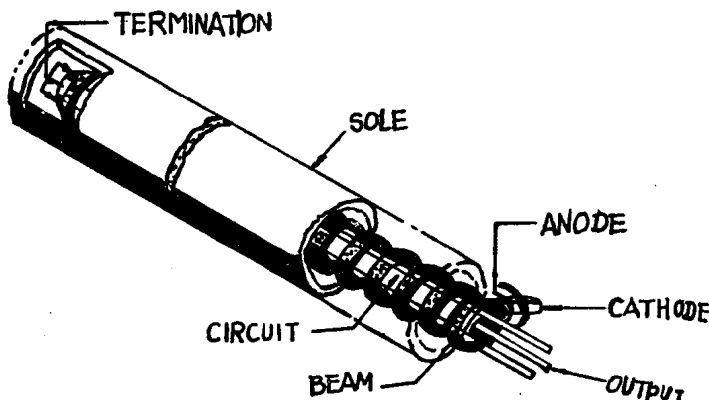


图 13 旋束管振盪器图
Termination終端, sole 底极, circuit 線路,
Anode 阳极, Cathode 阴极, Beam 电子注,
Output 輸出端。

从电子光学的观点出发，电子注正确注入聚焦系統代表着一个复杂的三維問題。然而至今，現有的方法无论是电解槽，橡皮膜，还是电阻网络板沒有能解决这个問題。在电子注的进入条件得到改善的情况下，管子的效率（現在是 1% 左右）有可能改进。

旋束管：

在苏联的旋束管中，电子在螺旋綫与内軸导体之間运动，如图 14 所示。电子注的注入問題通过将圓柱形阴极、聚焦电极、和阳极的端部做成特殊的形状，已經得到很精致的解

決。以下数据由 Tchernov 給出：

频率	$f = 1.5 - 2.5$ 千兆赫
内电极的电压	$V_i = 1.8$ 千伏
螺旋綫电压	$V_h = 1.5$ 千伏
电流	$I = 25$ 毫安
输出功率	$P = 10 - 12.5$ 瓦
效率	25—30%
最大的电子注传输系数	98%
导流系数	0.4 微安/伏 ^{3/2}

另一个旋束管，頻率范围为 3—3.75 千兆赫，在电流較低时（6 毫安），有 23% 的效率。

采用相同的聚焦系統的一个 S 波段返波振盪器，如有一个电压改变，調諧 范围 是 20—30%，如有二个电压改变，調諧范围 是 1:2。这种管子的高頻 功率是几十毫瓦。

Harris 流：

图 15 示出 Harris 聚焦系統 的簡图。产生环状电子注的电子枪装在磁路内部，这里的磁场为零。电子离开电子枪以后只有 z 方向的一个速度分量。当通过磁路空隙中的径向場时，电子这样偏轉：整个电子注开始围绕軸綫旋轉。角速度 θ 可以根据 Busch 定理进行計算：

$$\theta = \frac{e}{m} \frac{\varphi}{2\pi r^2}$$

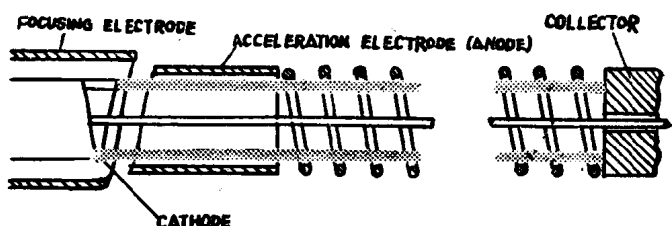


图 14 旋束管的横截面（簡图）。
Focusing Electrode 聚焦极, Acceleration Electrode
(Anode) 加速极(阳极) Cathode (阴极) Collector (收集极)

此处 φ 是通过电子注的总的磁通量， r 是电子与軸的距离。在离开磁場以后，电子进入二个同心圆柱之間的电場，就在这里产生上面談到过的聚焦作用。

在 Harris 介紹的實驗中，電子注電壓是 1000 伏，電子注電流是 500 毫安。這與十分高的導流系數值 16×10^{-6} 安/伏 $^{3/2}$ 相對應。

根據方程式(9)計算出的最大理論值與此值十分接近。在電子槍沒有截獲電流的情況下，聚焦系統的電子注傳輸系數約為 60% 左右。

用 Harris 方法的一個超高頻行波管由 Grumly [10] 制成。這個管子的數據如下：

頻率	$f = 250 - 800$ 兆赫
軸向電子注電壓	$V_z = 134$ 伏
電子注電流	$I = 5$ 毫安
導流系數	$I/V_z^{3/2} = 3.2 \times 10^{-6}$ 安/伏 $^{3/2}$
電子注傳輸系數	75—90%
最大高頻功率	120 毫瓦
最大效率	12%
最大小訊號增益	$G = 18$ 分貝

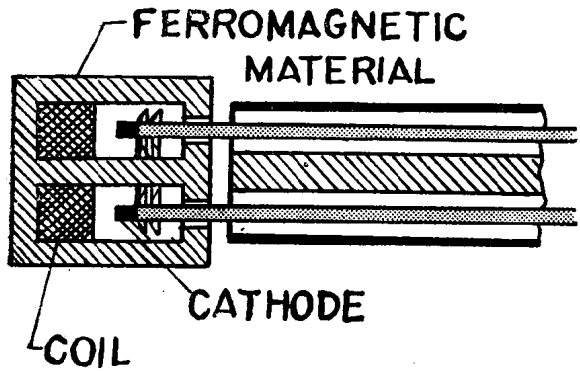


图 15 根据 Harris 的聚焦系統。
Ferromagnetic material 鐵磁性材料
Coil 線圈, Cathode 電極

III. 周期場

3.1. 聚焦實心電子注的系統

上面已經談過，“單透鏡”能夠補償“短”的電子注中的空間電荷效應。因此人們提出對於“長”的電子注運用連續的單透鏡的想法。實現這種想法有幾種可能。一種十分簡單的結構是由距離相等的電位高低相間的環狀圓片或圓

環組成(圖16)。另一種方法是利用二根螺旋線之間有電位差的雙絲螺旋線的直流電場。加速

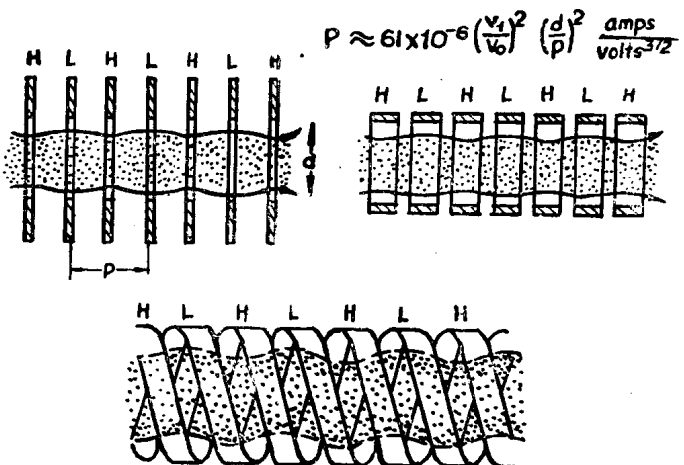


图 16 實心電子注的聚焦系統

器中所用的四極電場在微波管中可能沒有益處。在這種情況下，電極的形狀與高頻結構可能不易結合。

周期性聚焦的理論分析由 Glogston 和 Heffner (11)、Barnes (12)、Tien (13, 14)、Pierce (15)、Siekanowicz 和 Vaccaro (16) 細出。為了簡化，不得不作出一系列的假設和忽略。這些假設之一是，電位 V 在 z 方向作正弦變化。這意味著：只用電位級數表示式中的前二項。另一種常用的假設是：聚焦電壓（即高壓電極與低壓電極之間的電位差）與平均電子注電壓 V_0 比較是小的。儘管作了這些簡化，計算仍然十分複雜，並且計算的結果總是具有使人不容易直接解釋的形式。由於某些假設在高導流系數電子注的聚焦系統中並不能十分好地得到滿足，因此管子設計者很難估量所得結果的數值。

由於理論的複雜，本文只能給出某些比較重要的結果。首先，對於某些起始條件，實際上可以維持平行的電子流。電子注作小幅度的扇形變化且其空間週期等於聚焦結構週期。在低電位區域，電子接近聚焦結構，否則反之。在用環形圓片或圓環組成的聚焦系統中（其平均電子注直徑 d 與週期 P 比較是小的），導流系數由下式近似給出：

$$P \approx 61 \times 10^{-6} (V_1/V_0)^2 (d/P)^2 \text{ 安/伏}^{\frac{3}{2}} \quad (10)$$

式中 V_1 是聚焦电压。在这种情况下，电流密度在电子注的横截面上是恒定的。为了在一定的电子注直径时获得高的导流系数，聚焦电压 V_1 必需大，周期 P 必需小。但是方程式 (10) 不太适合于计算最大可得导流系数，因为方程是根据 $V_1 \ll V_0$ 以及 $d \ll P$ 的假设推导出来的。让我们假设 $V_1 = 0.5V_0$ 以及 $d = 0.5P$ ，希望方程式 (10) 仍然能够给出相当精确的结果。根据这些值计算出 3.8×10^{-6} 安/伏 $^{\frac{3}{2}}$ 的导流系数完全在微波管感兴趣的范围以内。

在电子注半径 r_0 的值可以与 P 比较时，如果整个横截面上要保持平行的电子流，电流密度必定朝电子注边缘方向增加。这点可以看作是聚焦系统的球面象差的结果。对于给出空间电荷密度作为半径函数的更为复杂的公式，应该参考 Tien 的文章 (13)。

同样，Tien 也把双丝螺旋线作为周期性聚焦结构处理，并且以径向电流分布为例。在这种系统中，轴线上的电流密度接近零。

在行波管或返波振荡器中，双丝螺旋线可以同时作为慢波线和聚焦结构。

Tien (14)、Ayers 和 Evans (17) 已将这个原理应用于返波振荡器中。最近，Blattner、Vaccaro、Guccia 和 Johnson (18) 又在行波管中应用这一原理。

Tien 报导：在电子注和聚焦电压为 480 伏，电流为 1 毫安时，最大的电子注传输系数为 78%，这些值给出导流系数为 0.1×10^{-6} 安/伏 $^{\frac{3}{2}}$ 。在 3—3.5 千兆赫之间的频率时可以观察到振荡。

Ayers 和 Evans 的返波振荡器设计在 π 波段，电子注电压为 250—1300 伏，给出的最大高频率功率为 20 毫瓦。Ayers 使用了能产生空心电子注的电子枪以代替具有理论要求的电流密度分布的电子注。无中心导体，在电子注的内边缘就不存在空间电荷力，因此聚焦力将把内电子推向轴线，直到空间电荷与聚焦力间的平衡获得恢复。根据这些考虑，可以得出结论，

电子注内的起始电流分布不太重要。确实，电流分布与理想情况不一致不会影响电子注的边缘，但会导致电子注内电子的径向振荡。

Blattner、Vaccaro、Guccia 和 Johnson 设计的行波管，频率范围接近从 2 到 3.5 千兆赫。在实验管中，无高频时电子注的传输系数高达 99.2%，有高频时为 98.5%。电子注电压是 2000 伏，聚焦电压 $V_H - V_L$ 的值接近相同，电流是 50 毫安。根据电子注电压算得的导流系数是 0.56×10^{-6} 安/伏 $^{\frac{3}{2}}$ 。在频率 1.9 千兆赫时，测得 21 瓦饱和功率，相当于 23 分贝增益。假设收集极电压与电子注电压相同，管子的效率是 20%。这种管子的电子枪产生的电子注在横截面上的电流密度接近恒定。与空心电子注的情况相似，电流分布将在聚焦系统内改变，因而引起电子的径向振荡。

在 Hergenrother 和 Bowers (19) 的返波振荡器中，有一个分成二个分隔部份的交叉指线路，因此连续的指可以接通到不同的直流电压上。每个指的中部扩展成一个能使电子注通过的圆孔。与 Ayers 的管子相似，它也采用起始空心电子注。这管子的频率范围是 1—2 千兆赫，平均高频率功率为 1 瓦，效率约 5%。

Siekanowicz 和 Vaccaro (16) 提出解决高导流系数电子注的聚焦问题的新措施。他们的方法与 Pierce 电子枪设计中所用的方法相似。现考虑在垂直于 x 方向无限延伸的具有均匀电流密度 J 的电子流。在此电子流内安置一系列的栅极，如图 17 所示。这些栅极具有高低交替的电位 V_H 和 V_L 。对于某一电流密度，低压栅极的电位梯度将等于零。因此，电位分布由下式给出：

$$x/x_0 = \left(\sqrt{\frac{V(x)}{V_L}} + 2 \right) \left(\sqrt{\frac{V(x)}{V_L}} - 1 \right)^{\frac{1}{2}} \quad (11)$$

式中 $x_0 = a V_L^{3/4} J^{1/2}$

$$a^2 = 2.33 \times 10^{-6} \text{ 安/伏}^{\frac{3}{2}}$$

现在只考虑电子注具有有限横截面的同样系统。为了维持直线性的电子流，电子注边缘的电位分布必需与方程式 (11) 给出的相同。

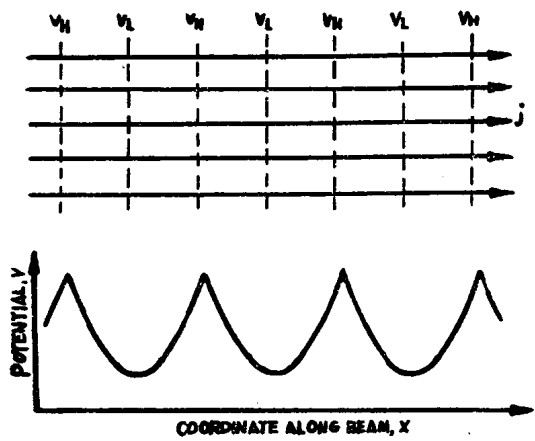


图 17 当栅极在高低交替的电位时电子流中的电位分布。

Potential (V) 电位 (伏), Coordinate Along beam 沿电子注的座标

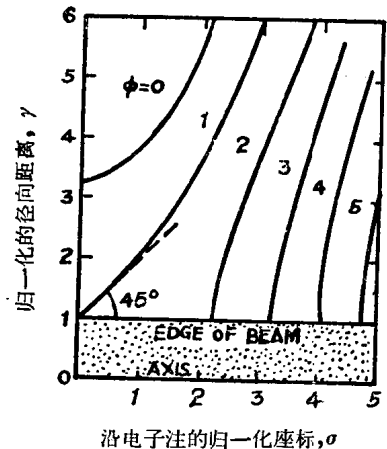


图 18 在具有直线性电子流的电子注外面的电位分布。

edge of beam 电子注边界, Axis 轴

如果改变电子注以外的区域中（这里没有空间电荷）的电位分布，这点才有可能。新的未知的电位分布可以用电介槽，或通过基于拉普拉斯方程的数字计算求解。图 18 示出圆形横截面电子注的计算结果。图 18 的等位线确定了维持电子注边缘要求的电位分布所必需的电极形状。

形状象 $\Phi = 1$ 的等位线的低压电极可以用形状象 $\Phi = 0$ 的等位线的零电位电极代替。如从低压边看，高压电极的形状应该是凸形的。这个条件在低压电极安放在高压电极两边的周

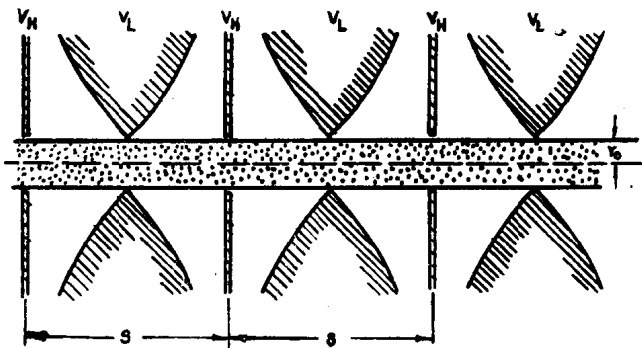


图 19 产生近似直线性电子流的轴对称系统。

期性系統中是不能满足的。求理論解的最可能的途径是运用能让电子注通过的带孔的薄圓片，如图19所示。对于圓形电子注而言，在給定的电压 V_H 时，用这种方法能够聚焦的最大导流系数是：

$$I/V_H^{3/2} = 14.7 \times 10^{-6} (2r_0/S)^2 \text{ 安/伏}^{3/2} \quad (12)$$

在这种情况下，低压电极的电压：

$$V_L = 0.25 V_H$$

将此导流系数与圆环或圆片系統的导流系数作比較是有意义的。假設 $V_L/V_H = 0.25$ ，我們发现：

$$I/V_H^{3/2} = 11 \times 10^{-6} (d/P)^2 \text{ 安/伏}^{3/2}$$

这两个值完全用不同的方法推导而得，因而有特别好的一致性。

Siekanowicz 和 Vaccaro 給出以下的實驗数据：

$$d/P = 0.31$$

$$V_H = 850 \text{ 伏}$$

$$V_L = 260 \text{ 伏}$$

$$\text{有效电压 } V_{eff} = 445 \text{ 伏}$$

$$I = 30 \text{ 毫安}$$

$$I/V_{eff}^{3/2} = 3.2 \times 10^{-6} \text{ 安/伏}^{3/2}$$

$$\text{电子注传输系数} = 96\%$$

如果电子的渡越时间与给出的周期性聚焦系統中的相同，则有效电压就是指加到速度恒定的电子注上的电压。理論上算得的导流系数 $I/V_{eff}^{3/2} = 4.1 \times 10^{-6} \text{ 安/伏}^{3/2}$ 。

基于这种新的聚焦方法，Belohoubek, Siekanowicz 和 Vaccaro (20) 研制出一种以横

杆結構為慢波線的實驗型行波管。電極安置在橫杆透鏡之間，它們借扼流圈同高頻結構直流導線支柱隔開。因為電極必須產生高頻場和靜電聚焦場，最佳聚焦條件所要求的電極形狀必須作相當的修改。這個管子的電氣數據如下：

$$f = 9.2 \text{ 千兆赫}$$

$$V_H = 31.6 \text{ 千伏}$$

$$V_L = 10.4 \text{ 千伏}$$

$$I = 3 \text{ 安 (峰值)}$$

$$\text{電子注傳輸系數} = 86\% \text{ (沒有高頻時)}$$

$$= 76\% \text{ (有高頻時)}$$

$$\text{高頻功率} P = 10 \text{ 千瓦 (峰值)}$$

$$\text{效率} = 30\% \text{ (用降壓集電極)}$$

$$\text{大訊號增益} G = 12 \text{ 分貝}$$

用有效電壓 V_{eff} 表示的電子注導流系數為：

$$P_{eff} = I/V_{eff}^{3/2} = 1.5 \times 10^{-6} \text{ 安/伏}^{3/2}$$

3.2. 空心電子注：

如前所述，實心電子注中的最大電流近似的隨著電子注直徑 d 的平方而增長。這說明 d 應該尽可能大。但是，這樣會產生由電子注耦合系數引起的更嚴格的限制，即 d 如果變得過大，則電子注耦合系數在電子注的中央會迅速下降，如果用空心電子注代替實心電子注，這些困難顯然不存在。換句話說，不必犧牲電子注與高頻場之間的良好耦合，就能獲得較高的導流系數。

用靜電場聚焦空心電子注有幾種方法。首先考慮電子注內部沒有導體的情況。運用在電子注外的聚焦結構，如圖20所示，系統是不穩定的。為了使它穩定，Chang (21) 提出利用電子注在軸線周圍旋轉產生的離心力作為附加的向外力。電子注的旋轉可以用Harris 系統中所用的相似的方法產生，即利用電子槍與聚焦結構之間的區域中的徑向磁場產生。根據 Chang 的意見，這個系統應該比利用 Brillouin 流或 Harris 流的系統更為穩定。在 Chang 介紹的實驗中，聚焦結構是一個2.3毫米內徑的雙絲螺旋線，每毫米1.9圈(圖20,a)。實驗結果是：

平均電壓	$V_{av} = 650 \text{ 伏}$
螺旋線之間的電位差	$V_H - V_L = 700 \text{ 伏}$
	$I = 1 \text{ 毫安}$
電子注傳輸系數	95%

導流系數

$$I/V_{av}^{3/2} = 0.06 \times 10^{-6} \text{ 安/伏}^{3/2}$$

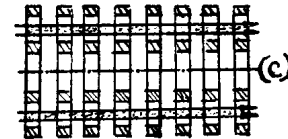
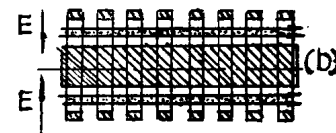
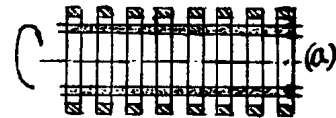


圖 20 空心電子注的聚焦系統

Sauseng (22) 提出周期性 聚焦結構在空心電子注外面，導電圓柱在空心電子注裏面的一個系統，如圖 20b 所示。聚焦結構可由一組電位高低交替的 V_H 和 V_L 的連續圓環組成。將電壓 $V_Z < \frac{1}{2}(V_H + V_L)$ 加到內導體上，產生電子的電位凹陷，使電子在內導體和聚焦結構之間的空間里沿穩定途徑移動。Sauseng (22) 和 Johnson (23) 對這系統作了理論和實驗的研究。Sauseng 給出了以下的實驗數據：

$$\text{平均電子注電壓} \quad V_B = 150 \text{ 伏}$$

$$\text{聚焦電壓} \quad V_H - V_L = 150 \text{ 伏}$$

$$\text{電子注電流} \quad I = 17 \text{ 毫安}$$

導流系數

$$I/V_B^{3/2} = 9.4 \times 10^{-6} \text{ 安/伏}^{3/2}$$

$$\text{電子注傳輸系數} \quad 62\%$$

對於較小的電流，電子注傳輸系數可達

82%。Johnson 报导了导流系数在 1.2×10^{-6} 到 8×10^{-6} 安/伏^{3/2} 间电子注传输系数为 85% 到 97%。平均的电子注电压为 400 伏左右。

Johnson 指出，他的实验和理论说明这个系统对进入条件十分不灵敏。他相信，电子注的稳定性很佳，甚或优于一般的电子注。

Chang (24)、(25) 和 Johnson (23) 已经研究了在空心电子注里和外利用聚能结构的系统（图 20 c）。Chang 称这种方法为“双周期静电聚能”。聚能结构通常由一组连续的圆环或者双螺旋线构成。如果这两种结构具有相同的周期性，则加电压存在两种可能性。具有相同的 Z 座标的电极可以有相同的或相反的电压，如图 21 所示。虽然聚能的型式和电子轨迹有所不同，但是正如 Johnson 指出的，在两种情况下实际的聚能作用是一样的。

由 Chang 制作的一个行波管，它的内外聚能结构都有双丝螺旋线。它的外部双丝螺旋线也作为慢波线。Chang 给出了以下的数据：

平均电子注电压 $V_B = 180$ 伏

聚能电压 $V_H - V_L =$ 两种双丝螺旋线都是 200 伏

电子注电流 $I = 4$ 毫安

导流系数

$$I/V_B^{3/2} = 1.7 \times 10^{-6} \text{ 安/伏}^{3/2}$$

电子注传输系数 97%

频率 $f = 2950$ 兆赫

高频率功率 100 毫瓦

增益 $G = 10$ 分贝

效率 14%

Chang 说明，在双周期静电聚能系统中电子的电位凹陷比所有其他系统中更陡。这意味着这个系统应该比各种已知的聚能方法更加稳定。

Johnson 从理论上比较了双周期系统和 Sauseng 的方法。几何形状虽然相同（用圆柱体代替一个聚能结构），但 Sauseng 的系统需要高出 40% 的聚能电压才能聚能相同的电流。由于 Sauseng 的结构较简便，较高的聚能电压

可以部份地补偿。

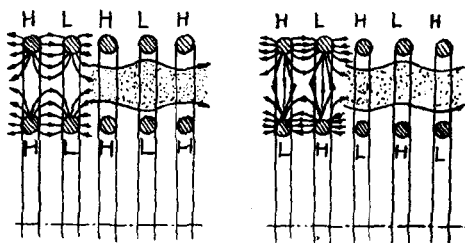


图 21 空心电子注的二种双周期聚能方法

3.3. 带形电子注

如忽略边缘效应，则带形电子注的聚能表现了一个二维问题。已经运用的有三种系统：

(1) 在电子注两边放有电位高低交替的一组电极。这等效于 Chang 的双周期聚能系统。以交叉指线作慢波线的返波振荡器特别适用作这个系统。慢波线分为与不同电位接通的两个部分，因此它的指是处在高低交替的电位。频率范围大一倍的这类管子已被巴黎 G. S. F. 公司的 Charles 和 Gentner 所研制。

(2) Hogg (27) 提出了致偏聚能的巧妙方案，并作了尝试。Hogg 研究出二种适用于返波振荡器的新的聚能方法，即“单梯”和“双梯”结构（图 22 和 23）。这些系统的主要优点是，整个高频结构具有相同的直流电位。周期性聚能电场用围绕高频结构的辅助电极产生。用单梯结构获得的最大电子注传输系数是 50%，用双梯结构得到的是 70%。在两种情况下，电子注电压是 750 伏，导流系数是 0.5×10^{-6} 安/伏^{3/2}。用单梯式慢波线的返波振荡器的调谐范围从 1.4 到 2.3 千兆赫，另一个用双梯式慢波线的返波振荡器的调谐范围从 1.4 到 2.6 千兆赫。根据 Hogg 的介绍，它的功率输出在 100 毫瓦左右。在这些系统中电子注的进入条件是很严格的。

(3) Kompfner 提出一个称作滑雪式 (slalom) 的聚能系统 (28), (29)。它由一排安置在两个负电极中间的正的杆或导线构成，如图 24

中所示。在正确的进入条件下，注入的电子注呈正弦形交織地穿过导綫而不撞击导綫。同时，导綫或杆可以是高頻慢波結構的一部份。如 Cook、Kompfner 和 Yocom 所述，这种系統中的电子是等电位的。这种聚焦結構与 Hogg 的单梯结构有些相似，它的主要区别在于：在 Hogg 的系統中电子注总是在慢波結構的同一边。

在一次測量电子注的實驗中，Cook、Kompfner 和 Yocom 測出电子注傳輸系数是 97%，導流系数是 2×10^{-6} 安/伏^{3/2}。在導流系数是 4.2×10^{-6} 时，电子注傳輸系数仍是 92%；在導流系数是 12.7×10^{-6} 时，它下降为 48%。

472

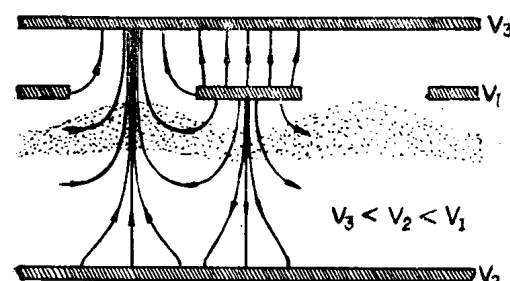


图 22 根据 Hogg 的原理构成的单梯式聚焦系統中的电場和电子注途径。

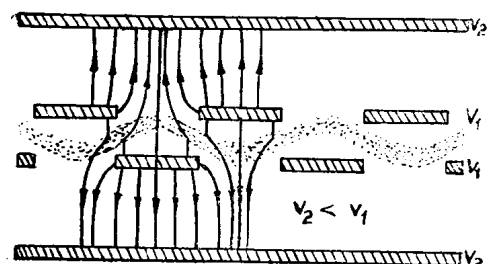


图 23 根据 Hogg 的原理构成的双梯式聚焦系統中的电場和电子注途径。

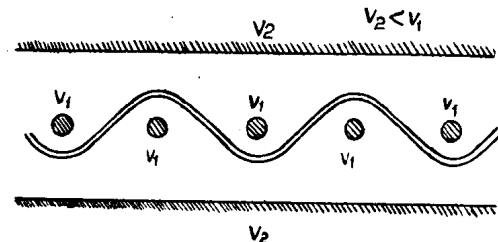


图 24 带形电子注的滑雪式聚焦 (slalom-focusing)。

电子注电压值比較低，为 265 伏。

在频率范围从 3.3 到 4.3 千兆赫的返波振盪器中，电子注傳輸系数只有 15%。在这种情况下，大家认为造成电子注傳輸系数低的主要原因是注入条件不良。

本文介紹的三种方法不是聚焦带形电子注仅有的方法。例如 Sauseng 的方法可以用在帶形电子注和圓柱形系統中。

IV. 結 論

微波管的靜電聚焦已获得有重大的进展。与常用的磁聚焦比較，它节省重量、空間和能量，因此改进了管子的效率。外杂散場是不存在的，且聚焦与溫度无关。由于离子被强电場迅速吸引，噪声性质和阴极寿命都有改进。

許多聚焦方法已經提出或者經過了試驗，取得了不同程度的成功。目前还难以說明各种系統間工作性能的差別。在大多数情况下，不良的电子注进入条件被认为是电子注傳輸系数低的主要原因。

第一批靜電聚焦返波振盪器和中功率行波管已成功地作了測試。靜電聚焦速調管的工作做的还较少。

解释各种聚焦系統性能的理論已有发展。尽管如此，在大多数現有理論中，简单化的預示数值的假設过多了。因此聚焦系統的設計大部份是凭經驗的。为了更好理解已有的系統及取得进一步的进展，必須作更多的理論工作。包括空間电荷效应的电子光学，仍然处在十分原始的阶段。几乎所有情况中，問題都是过于的复杂，不能通过分析求解。模拟計算机，如电介槽或电阻网络板等，已证实是介决这些問題的最得力的工具。当然，用这种方法是不能得出通解的。每个具有最佳性能的系統的設計是耗費時間的。与經過良好校正的一般的光学系統的設計所需的时间比較，看来，这种程序是完全合理和正当的。将来最重要的問題可能是研制象差較小的更好的电子枪，以及詳細地

研究电子枪与聚焦系統之間的区域。

对微波管的静电聚焦有許多工作正在进行，并且这方面的发展很迅速。在一定范围内，良好設計的静电聚焦系統沒有理由认为不能够相当于或超过現有的最好的磁鉄系統。

参考文献

1. W. C. Hahn and G. F. Metcalf, "Velocity modulated tubes", Proc. IRE, 27 (1939) pp. 106-116.
2. W. E. Waters, "Rippling of thin electron ribbons", J. Appl. Phys., 29 (1958) pp. 100-104.
3. C. Veronda, "New pulse klystron amplifier for the 960—1,215-Mc region", Electrical Engineering, 71 (1952) pp. 686-689.
4. A. Versnel and J. L. H. Jonker, 'A magnetless magnetron', Philips Res. Reps., 9 (1954) pp. 458-459.
5. A. Versnel, "Magnetless magnetron", Le Vide, 12 (1957) pp. 59-63.
6. L. A. Harris, "Axially symmetric electron beam and magnetic field systems", Proc. IRE, 40 (1952) pp. 700-708.
7. Z. S. Tchernov, "Interaction of electromagnetic waves and electron beams with centrifugal-electrostatic focusing", MRI Symposium Proc., VIII, (1958) pp. 339-344.
8. Z. S. Tchernov, "Interaction of electromagnetic waves and electron beams with centrifugal-electrostatic focusing", Proc. IEE, 105 (1958) pp. 594-595.
9. D. A. Watkins and G. Wada, "The helitron oscillator", Proc. IRE, 46 (1958) pp. 1700-1705.
10. C. B. Crumly, "A UHF traveling-wave amplifier tube employing an electrostatically focused hollow beam", IRE Transactions, ED-3 (1956) pp. 62-66.
11. A. M. Clogston and H. Heffner, "Focusing of an electron beam by periodic fields", J. Appl. Phys. 125 (1954) pp. 436-447.
12. C. Barnes, "Periodic focusing of electron beams", Stanford Electronics Res. Lab., Tech. Rep. No. 33 (1954).
13. P. K. Tien, "Focusing of a long cylindrical electron stream by means of periodic electrostatic fields", J. Appl. Phys., 25 (1954) pp. 1281-1288.
14. P. K. Tien, "Bifilar helix for backward-wave oscillators", Proc. IRE, 42 (1954) pp. 1137-1143.
15. J. R. Pierce, "Theory and design of electron beams", D. Van Nostrand Company, Inc., New York (1954) pp. 194-213.
16. W. W. Siekanowicz and F. E. Vaccaro, "Periodic electrostatic focusing of laminar parallel-flow electron beams", Proc. IRE, 47 (1959) pp. 451-452.
17. W. R. Ayers and K. R. Evans, "Electrostatic periodically focused backward wave oscillator", Paper given at the IRE Electron Devices Meeting in Washington, D. C. (1959).
18. D. J. Blattner, F. E. Vaccaro, C. L. Cuccia and W. C. Johnson, "Medium power L- and S-band electrostatically focused traveling-wave tube", RCA Rev., XX (1959) pp. 426-441.
19. R. C. Hergenrother and W. A. Bowers, "An electrostatically focused backward-waves oscillator", Paper given at the IRE Electron Devices Meeting in Washington, D. C. (1959).
20. E. Belohoubek, W. Siekanowicz and F. E. Vaccaro, "An electrostatically focused high power traveling-wave-tube", Paper given at the IRE Electron Devices Meeting in Washington, D. C. (1959).
21. K. K. N. Chang, "Confined electron flow in periodic electrostatic fields of very short periods", Proc. IRE, 45 (1957) pp. 66-73.
22. O. Sauseng, "Ober die Entwicklung einer elektrostatischen Fokussierung von zylindrischen Elektronenhohlstrahlen", Diss. Techn. Hochschule Wien 1956.
23. C. C. Johnson, "Periodic electrostatic focusing of a hollow electron beam", IRE Transactions, ED-5 (1958) pp. 233-243.
24. K. K. N. Chang, "Biperiodic electrostatic focusing for high density electron beams", Proc. IRE, 45 (1957) pp. 1522-1527.
25. K. K. N. Chang, "An electrostatically focused traveling-wave-tube amplifier", RCA-Rev. XIX (1958) pp. 86-97.
26. P. Palluel and A. K. Goldberger "The O-type carcinotron", Proc. IRE, 44 (1956) pp. 333-345.
27. H. A. C. Hogg, "Periodic electrostatic beam focusing", Proc. I.E.E., Paper No. 2751 R, (1959) pp. 1016-1020.
28. J. S. Cook, R. Kompfner and W. H. Yocom, "Slalom focusing", Proc. IRE, 45 (1957) pp. 1517-1522.
29. J. S. Cook, W. H. Louisell and W. H. Yocom, "Stability of an electron beam on a slalom orbit", J. Appl. Phys., 29 (1958) pp. 583-587.

钟曼莉譯
李道隆校

高 功 率 速 調 管

K. H. Krechen

I、高功率速調管的种类

近十年来，高功率速調管的品种总是在增加，其频率复盖范围自 77000 兆赫至 200 兆赫或波长自 4 毫米至 1.5 米。管子的主要元件（諧振腔）的尺寸反比于工作频率，因而对于上述频率范围，几何尺寸限制了能达到的使用功率极限。4 毫米波段諧振腔的尺寸不同于 1 米波段，它正比于 $1/f$ ，这里缩小为 $1/250$ （图 1）。

200 兆赫放大管諧振腔的直径約为一呎（30—35 厘米）。对应地，77000 兆赫器件的諧振腔直径仅 0.060 吋（1.5 毫米）。事实上，整个 4 毫米速調管完全能通过波长为 1 米速調管的漂移管。电子注直径有相应的降低。在 77000 兆赫管中，电子注直径比 .020 吋（0.5 毫米）小一些。这样电子注电流密度就得提高，但受到阴极发射，电子注压缩比及窄管道中容纳电子注的能力的限制。进一步的限制是由于金属热传

导限制的最大热耗散（防止金属在电子轰击下甚至在适当的冷却时而熔化），以及电路元件的趋肤损耗。因而低于 1 厘米波长的高功率速調管的最大平均功率电平降至数百瓦，而在 4 毫米波段降至数瓦。

在频率范围的另一端，即 1500 兆赫或更低情况下，还没有管子在任何情况下能达到受几何尺寸决定的功率极限。

目前，对于低頻管的限制因数是很多的；例如聚焦极与阳极間的击穿电压（脉冲宽度大于 10 微秒）及現有的各类型輸出窗最大容許功率。两者与管内的真空条件，特别是等离子区的条件有关。因此，极高真空时对等离子区和离子及电子产生的进一步研究变得十分重要。

对寬頻帶行波管及磁控管型器件（如高效率的增幅管）而言，速調管的特点是高增益。已制成的同步調諧多腔速調管的稳定增益已增加到 90 分貝。这相当于功率放大倍数为 10^9 。这样的管子，假定有 10 兆瓦的輸出功率峰值，

則所需的激励功率仅 10 毫瓦。在高增益系数下，二次电子在电子注反方向掠过，內反馈就有迅速增长的可能。因此，可靠工作速調管的实际增益系数低于 60 分貝或 70 分貝。在速調管諧振腔參差調諧情况下，可牺牲增益换取頻寬。用这种方法制成的兆瓦級寬頻帶速調管的頻寬大于 5%，而增益仍达 40—50 分貝。

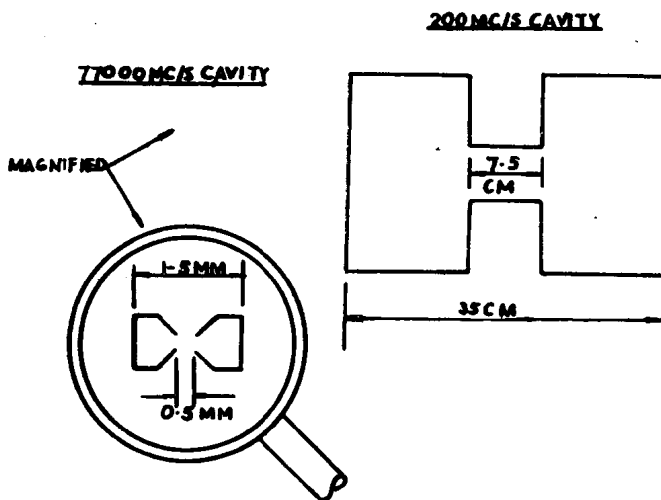


图 1 200 兆赫及 77000 兆赫速調管諧振腔的尺寸比較

77000 MC/S cavity 77000 兆赫諧振腔
200 MC/S cavity 200 兆赫諧振腔
Magnified 放大图

II、功率速調管的效率

高功率級速調管在能达到的极大效率下工作是很重要的。現代同步調諧速調管容易做到效率为 40% 左右，特別是电子注导流系数低于 2 微朴的器件，收集